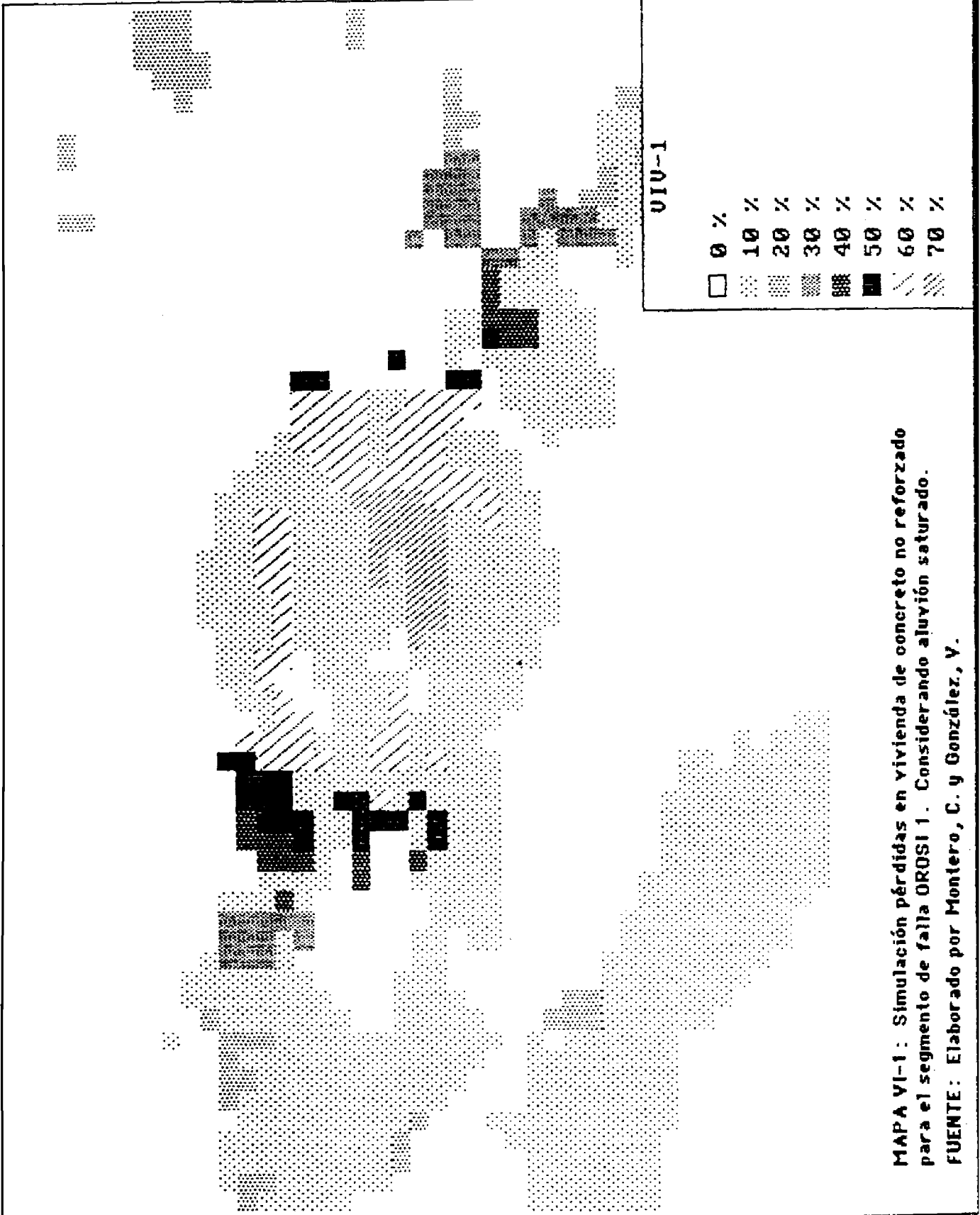


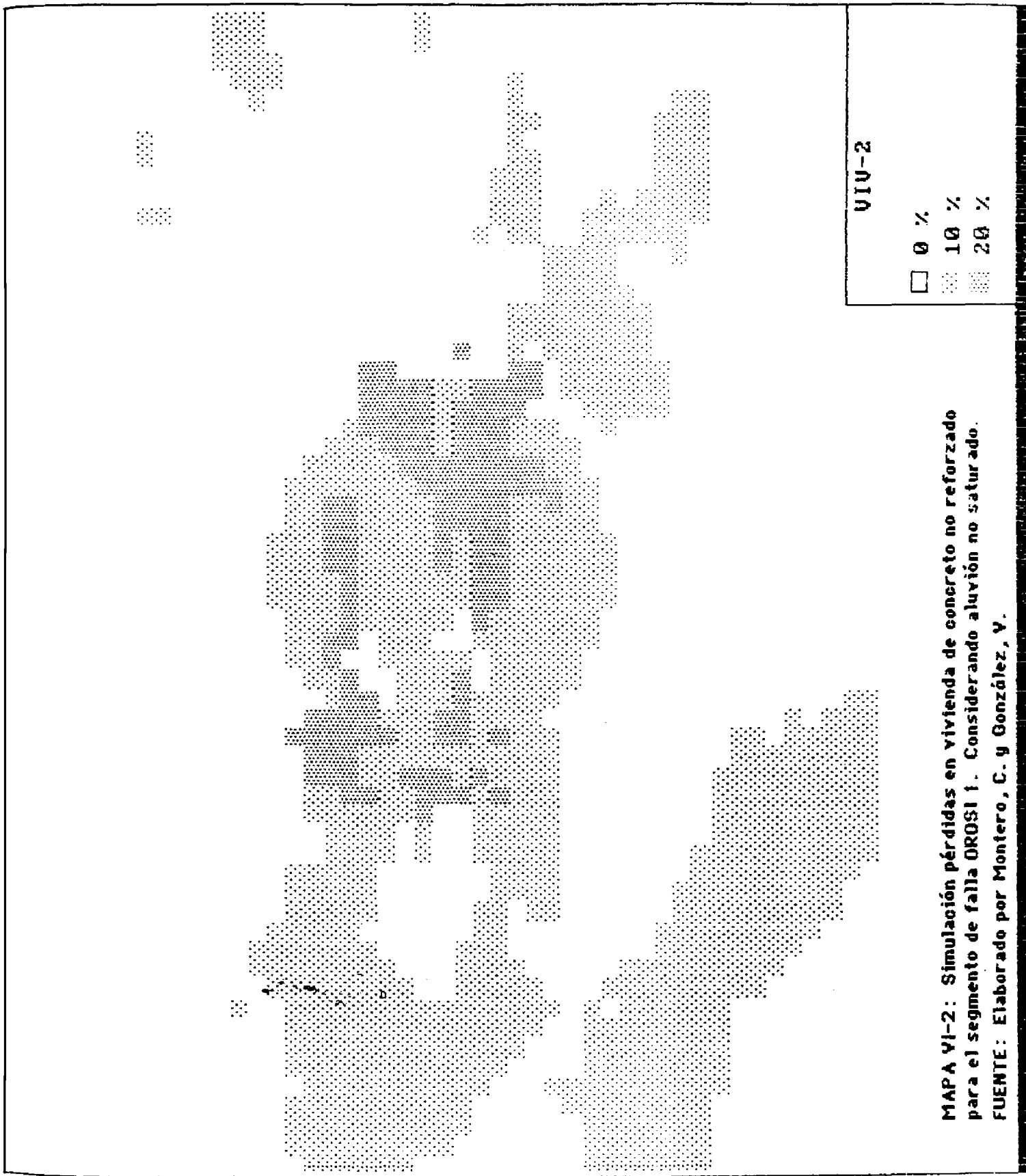
APENDICE VI



VIU-1

0 %	10 %	20 %	30 %	40 %	50 %	60 %	70 %
[White]	[Dots]	[Dots]	[Dots]	[Diagonal]	[Black]	[Diagonal]	[Cross-hatch]

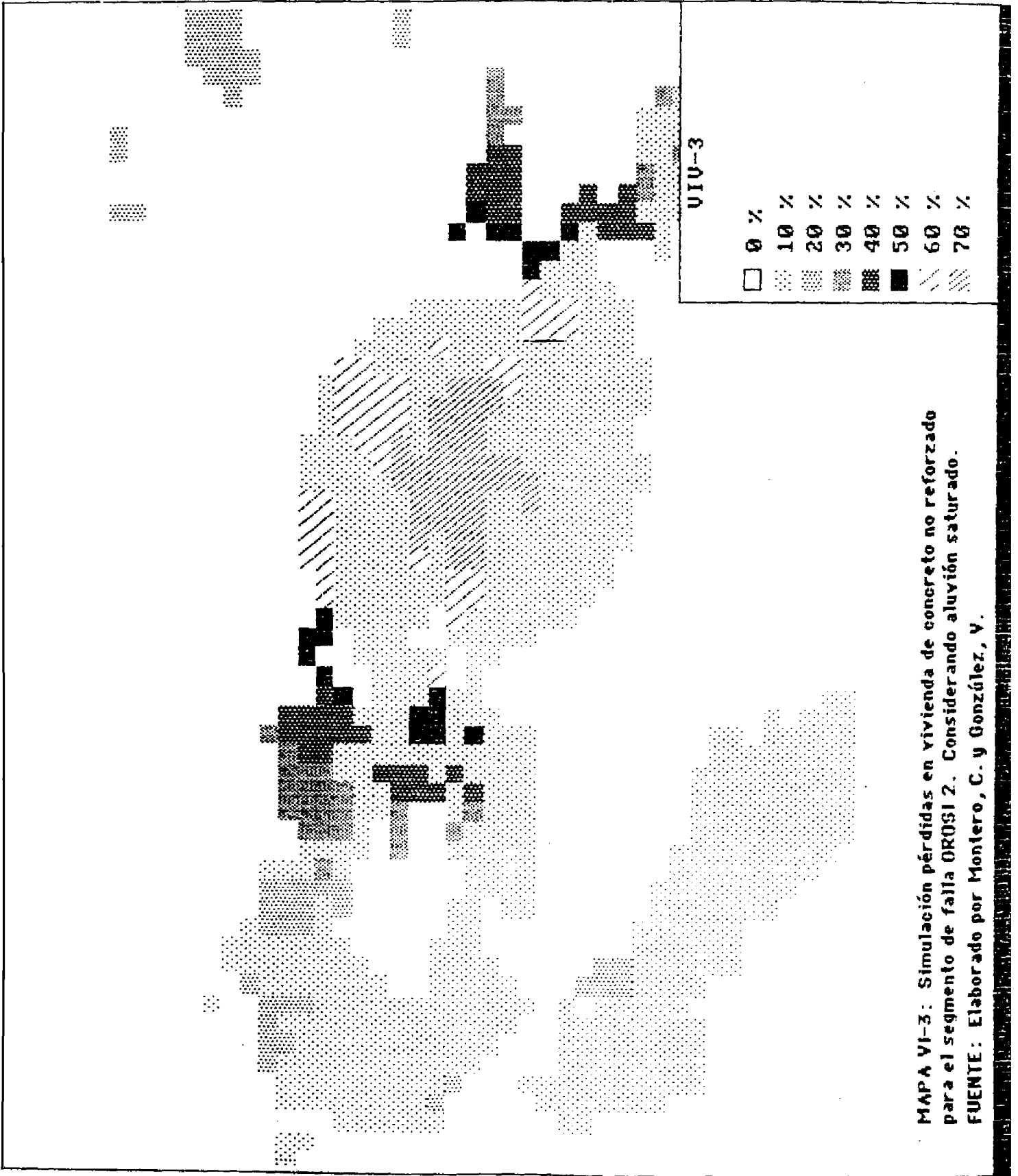
MAPA VI-1: Simulación pérdidas en vivienda de concreto no reforzado para el segmento de falla ORDSI 1. Considerando aluvión saturado.
 FUENTE: Elaborado por Montero, C. y González, V.



VIV-2

- 0 %
- ▒ 10 %
- 20 %

MAPA VI-2: Simulación pérdidas en vivienda de concreto no reforzado para el segmento de falla OROSI 1. Considerando aluvión no saturado.
FUENTE: Elaborado por Montero, C. y González, V.

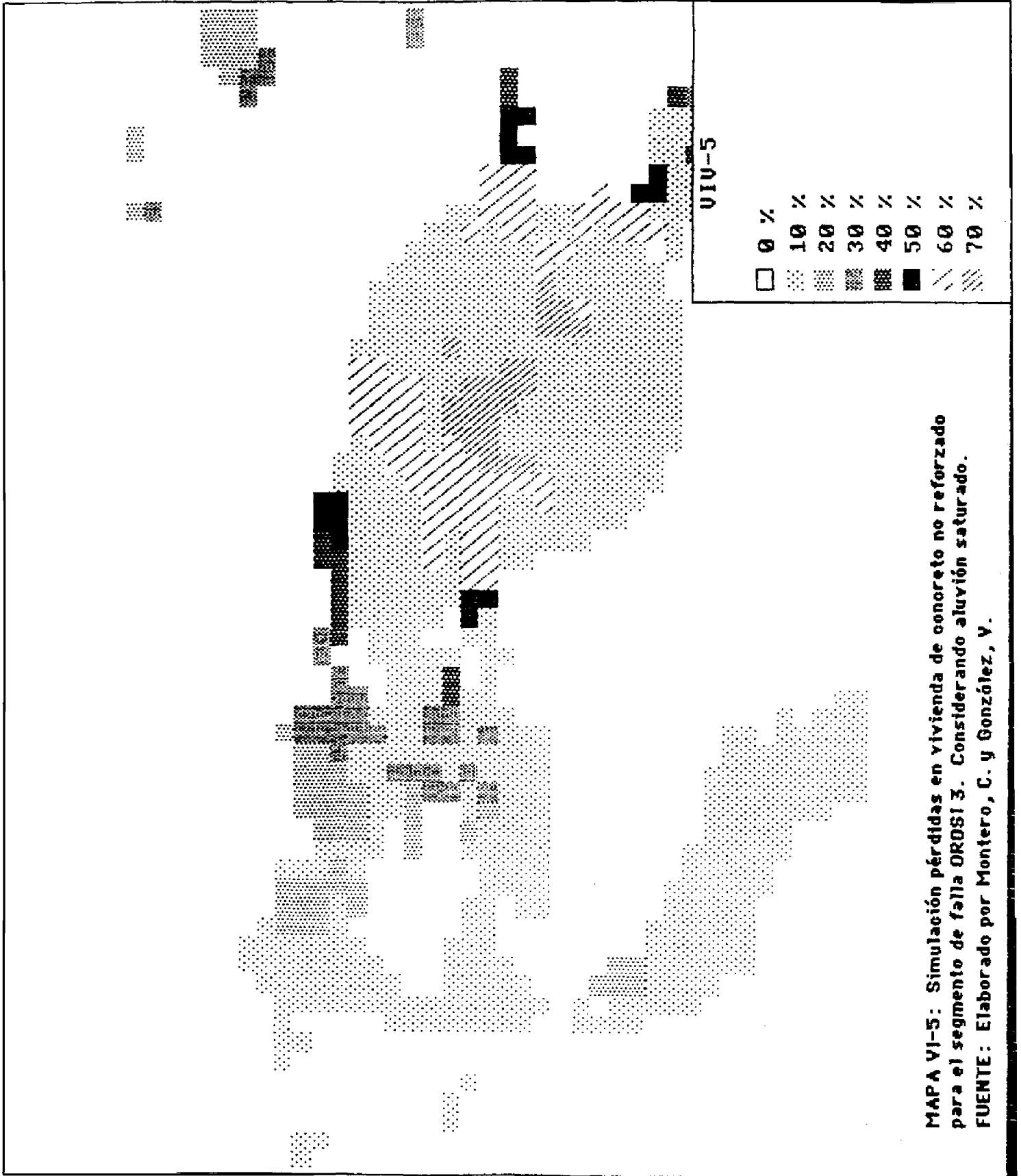


MAPA VI-3: Simulación pérdidas en vivienda de concreto no reforzado para el segmento de falla DROSI 2. Considerando aluvión saturado.
FUENTE: Elaborado por Montero, C. y González, V.

UIV-4

- 0 %
- ▒ 10 %
- ▓ 24 %

MAPA VI-4: Simulación pérdidas en vivienda de concreto no reforzado para el segmento de falla OROSI 2. Considerando aluvión no saturado.
FUENTE: Elaborado por Montero, C. y González, Y.

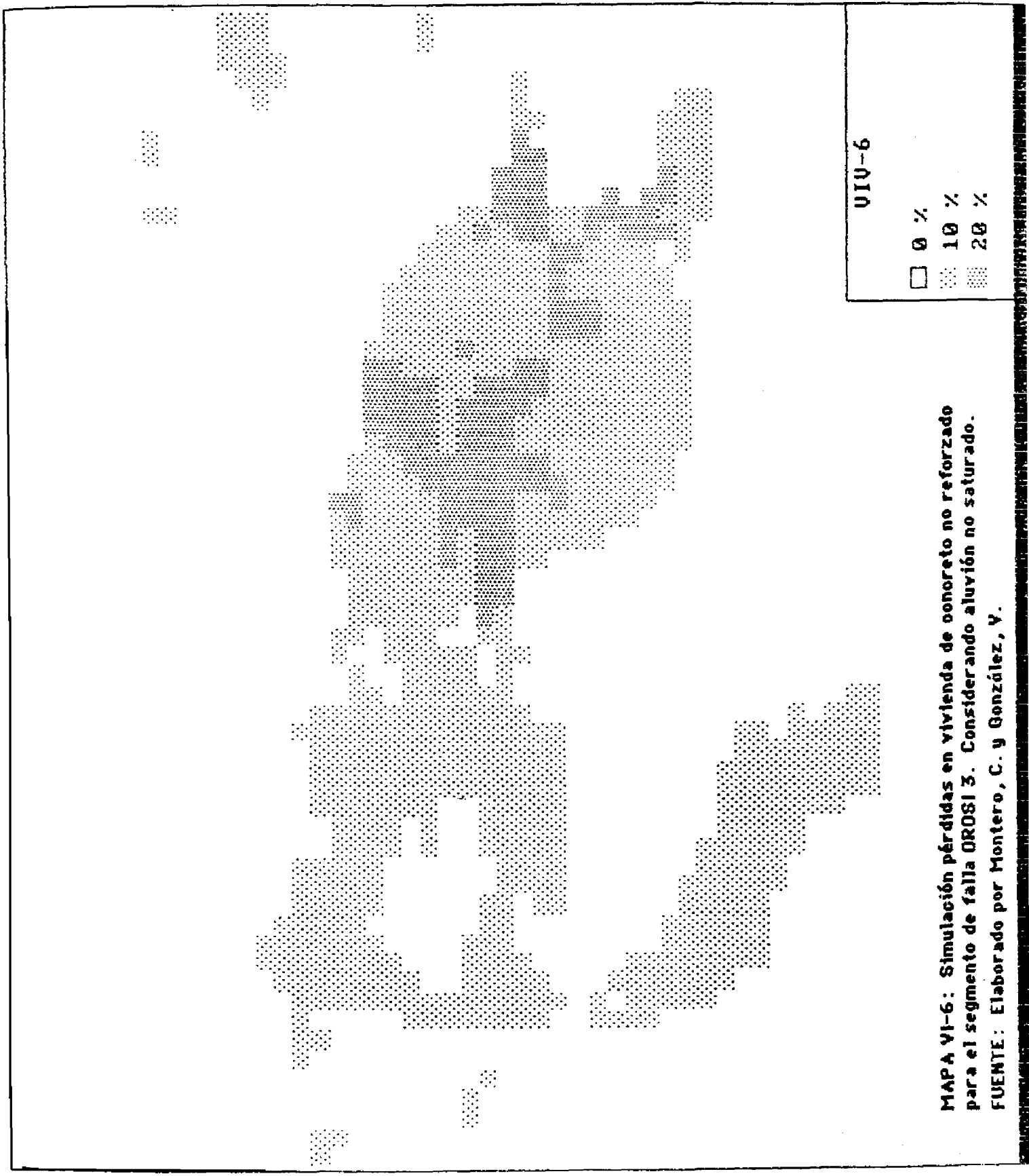


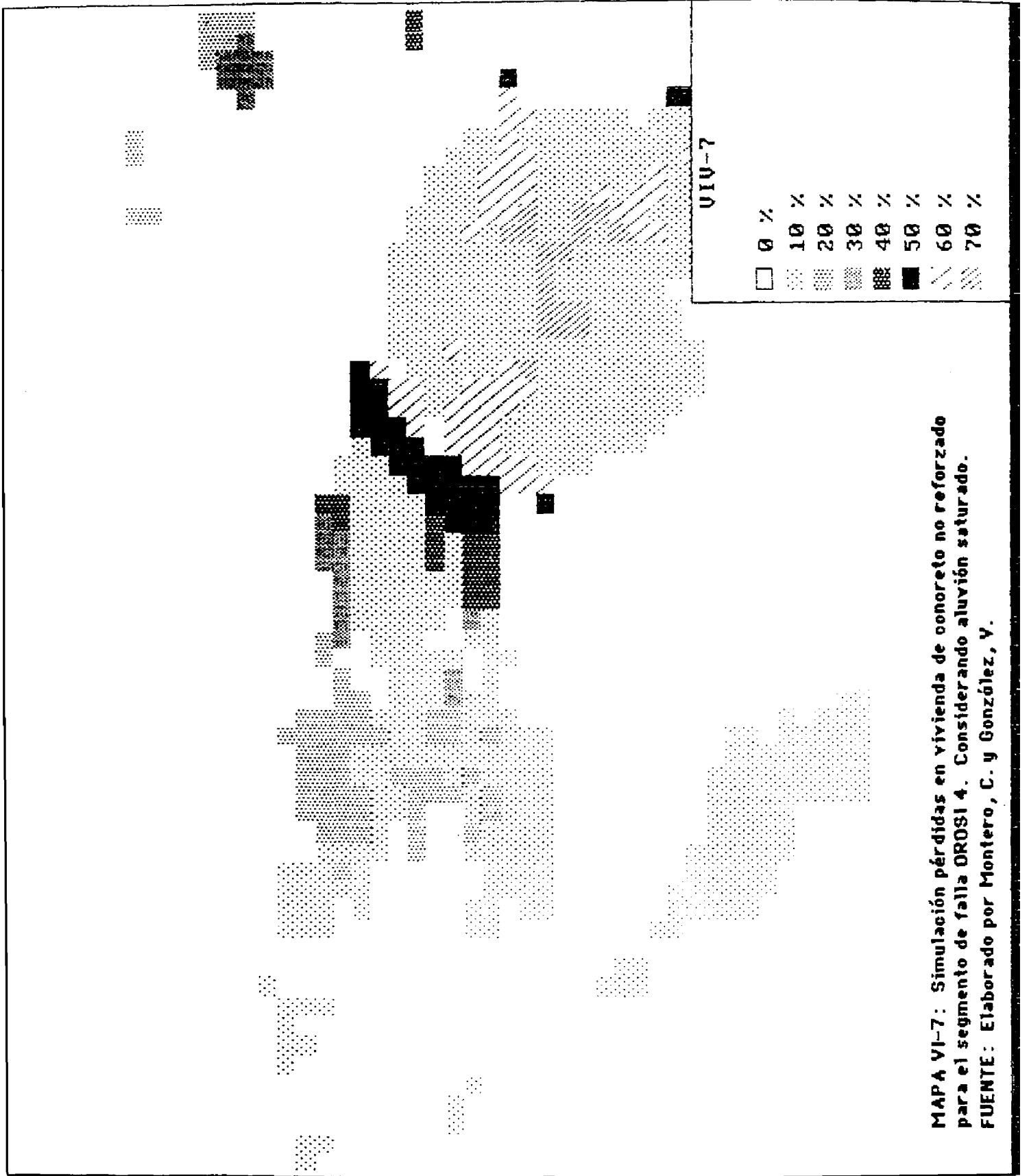
MAPA VI-5: Simulación pérdidas en vivienda de concreto no reforzado para el segmento de falla ORDSI 3. Considerando aluvión saturado. FUENTE: Elaborado por Montero, C. y González, V.

VIU-6

- 0 %
- ◻ 10 %
- ◻ 20 %

MAPA VI-6: Simulación pérdidas en vivienda de concreto no reforzado para el segmento de falla OROSI 3. Considerando aluvión no saturado. FUENTE: Elaborado por Montero, C. y González, Y.





MAPA VI-7: Simulación pérdidas en vivienda de concreto no reforzado para el segmento de falla DROSI 4. Considerando aluvión saturado. FUENTE: Elaborado por Montero, C. y González, Y.

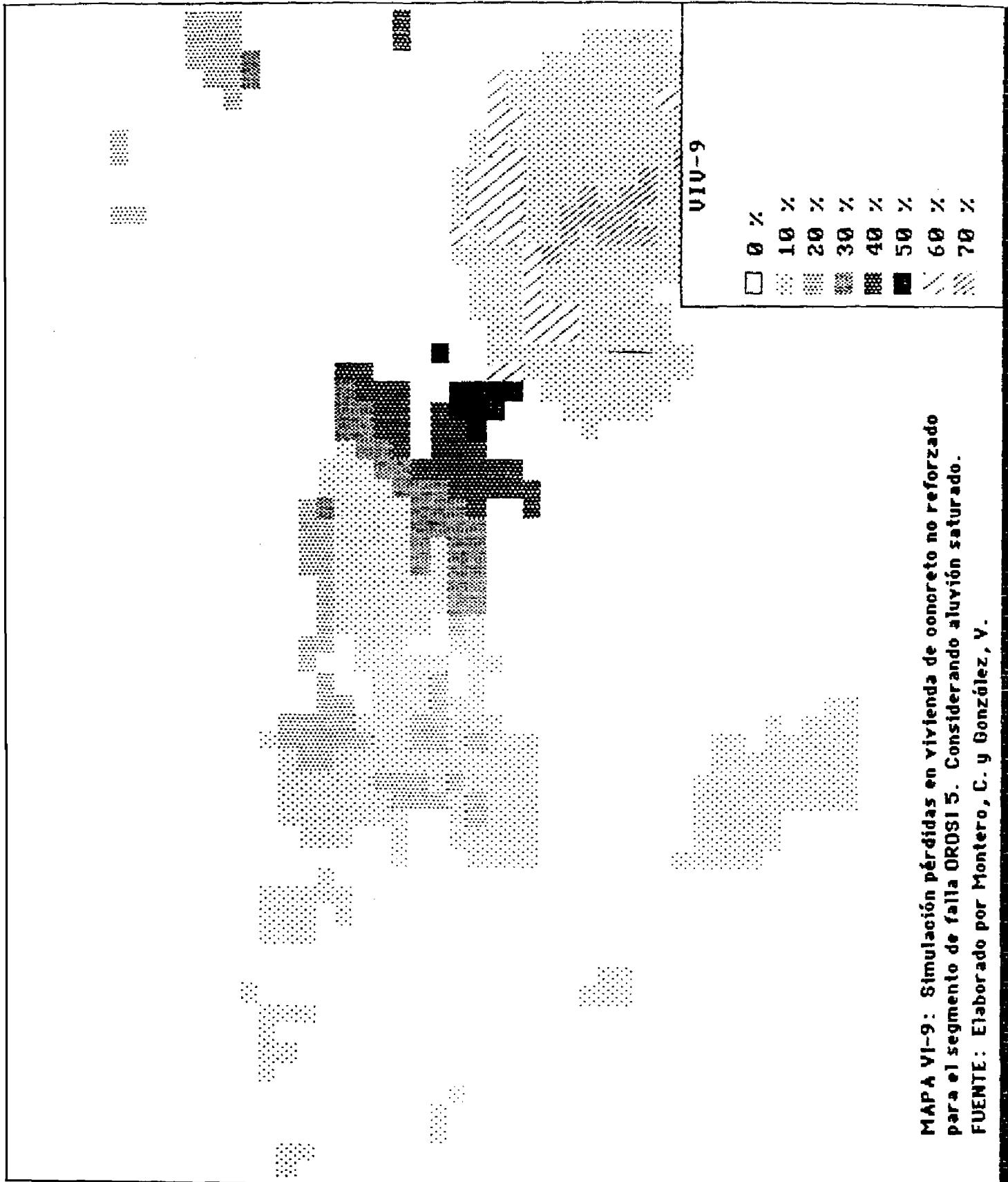
VIV-8

- 0 %
- ◻ 10 %
- ◻ 20 %

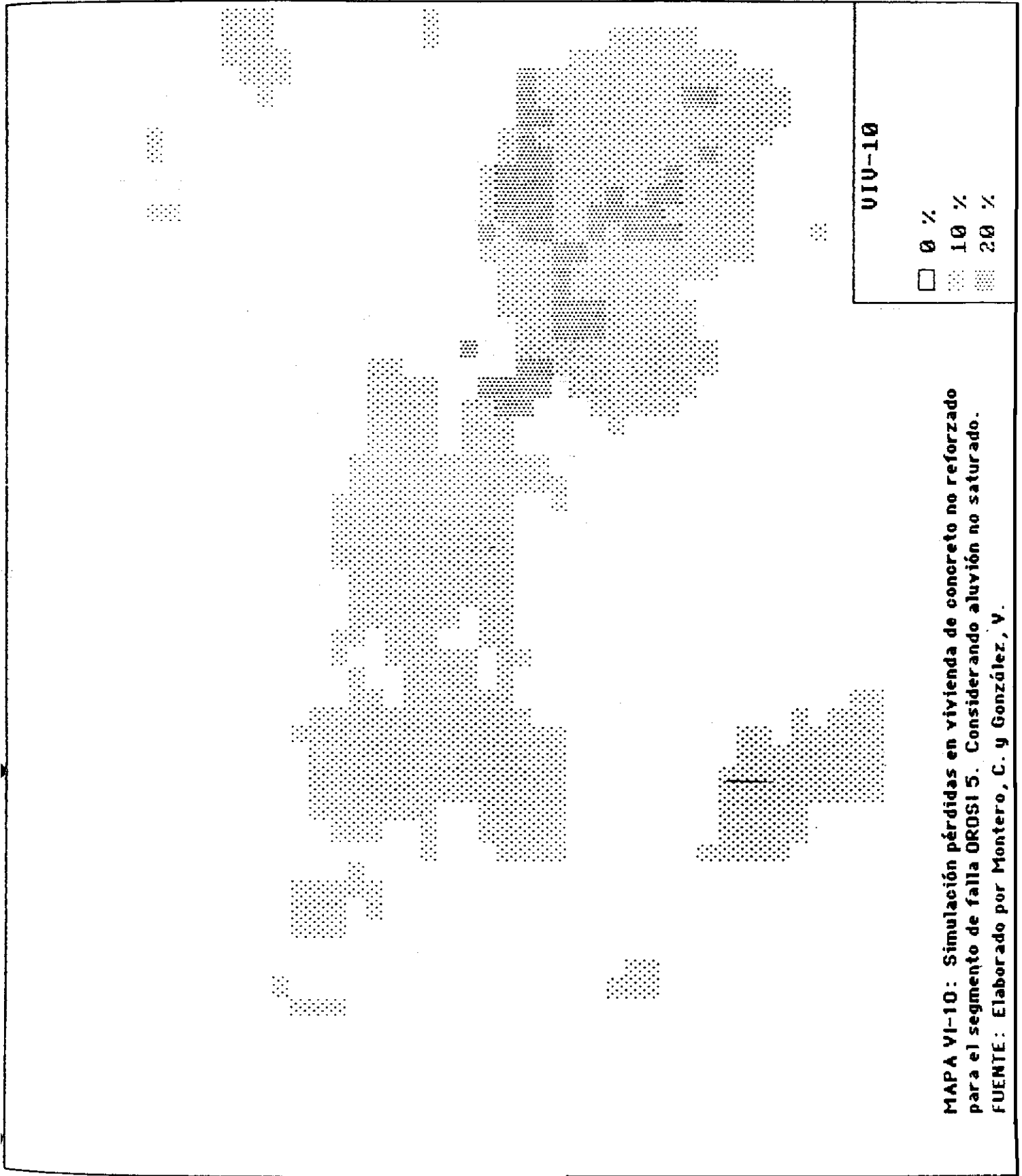
MAPA VI-8: Simulación pérdidas en vivienda de concreto no reforzado para el segmento de falla OROSI 4. Considerando aluvión no saturado.

FUENTE: Elaborado por Montero, C. y González, Y.



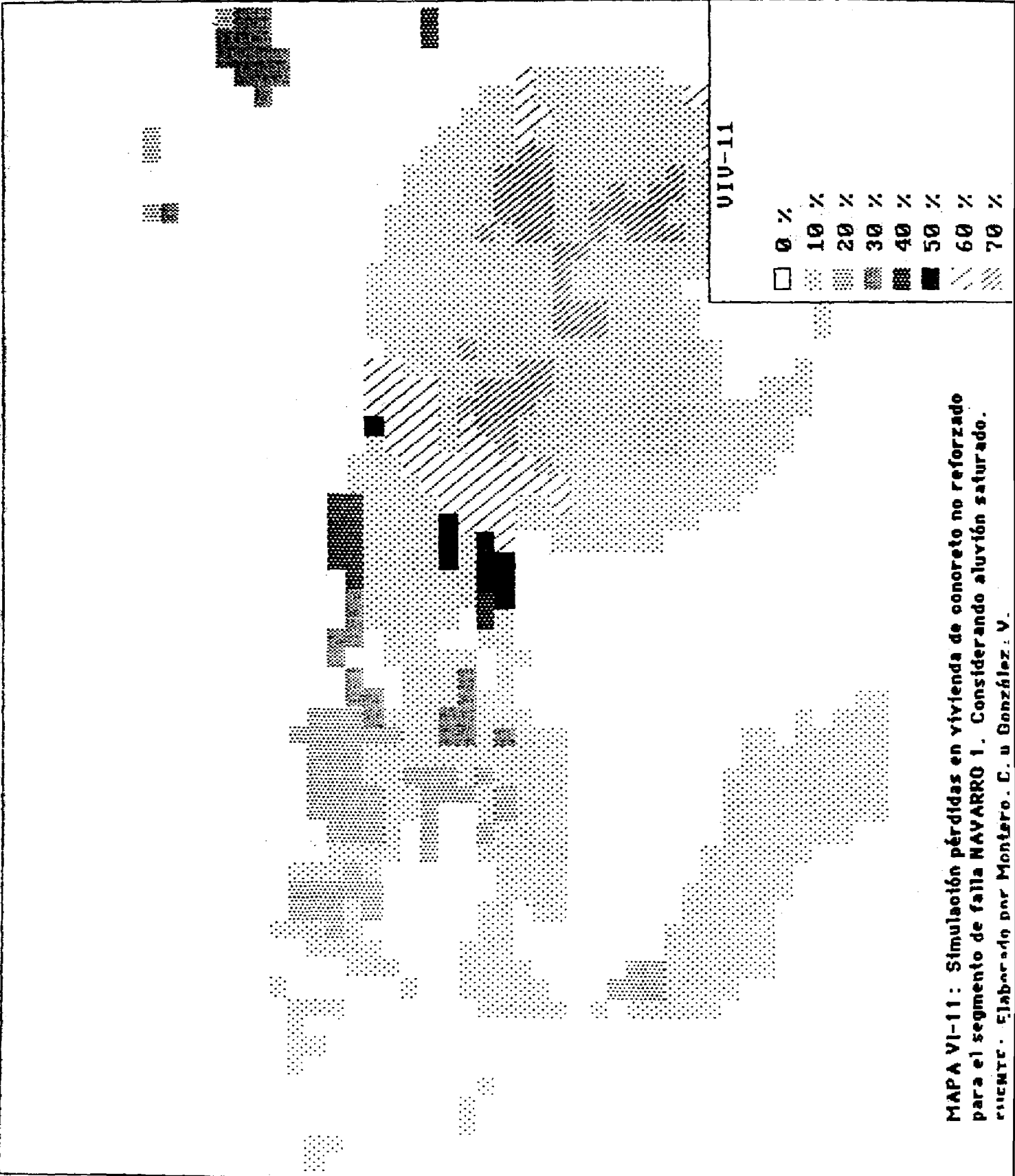
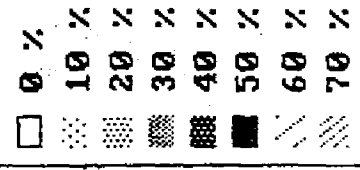


MAPA VI-9: Simulación pérdidas en vivienda de concreto no reforzado para el segmento de falla ORSI 5. Considerando aluvión saturado. FUENTE: Elaborado por Montero, C. y González, Y.



MAPA VI-10: Simulación pérdidas en vivienda de concreto no reforzado para el segmento de falla ORDSI 5. Considerando aluvión no saturado.
FUENTE: Elaborado por Montero, C. y González, V.

VIV-11



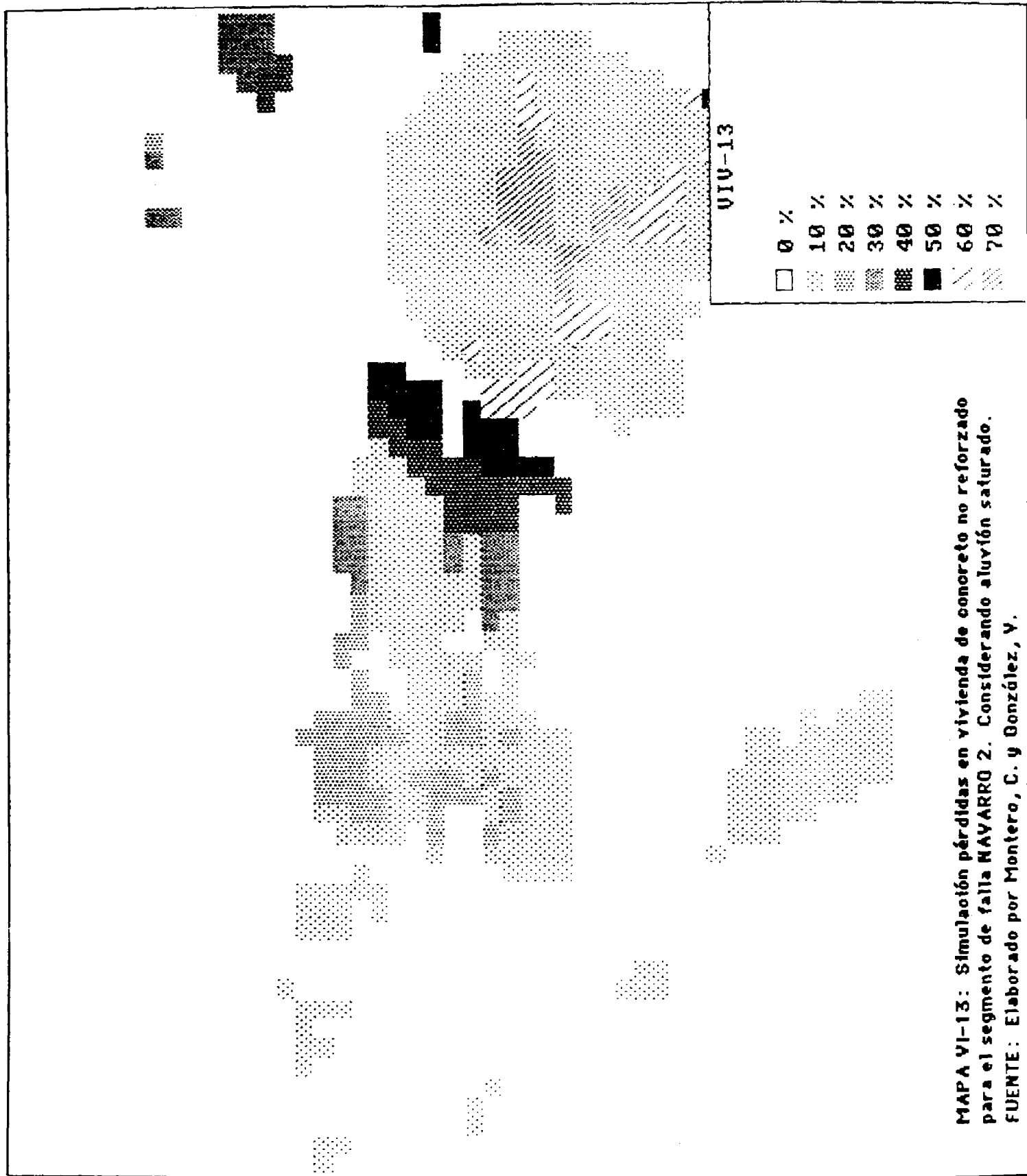
MAPA VI-11: Simulación pérdidas en vivienda de concreto no reforzado para el segmento de falla MAYARRO 1. Considerando aluvión saturado. INCHIME. Elaborado por Montero, E. u González, V.

UIU-12

- 0 %
- ◻ 10 %
- ◻ 20 %

MAPA VI-12: Simulación pérdidas en vivienda de concreto no reforzado para el segmento de falla NAYARRO 1. Considerando aluvión no saturado.
FUENTE: Elaborado por Montero, C. y González, V.





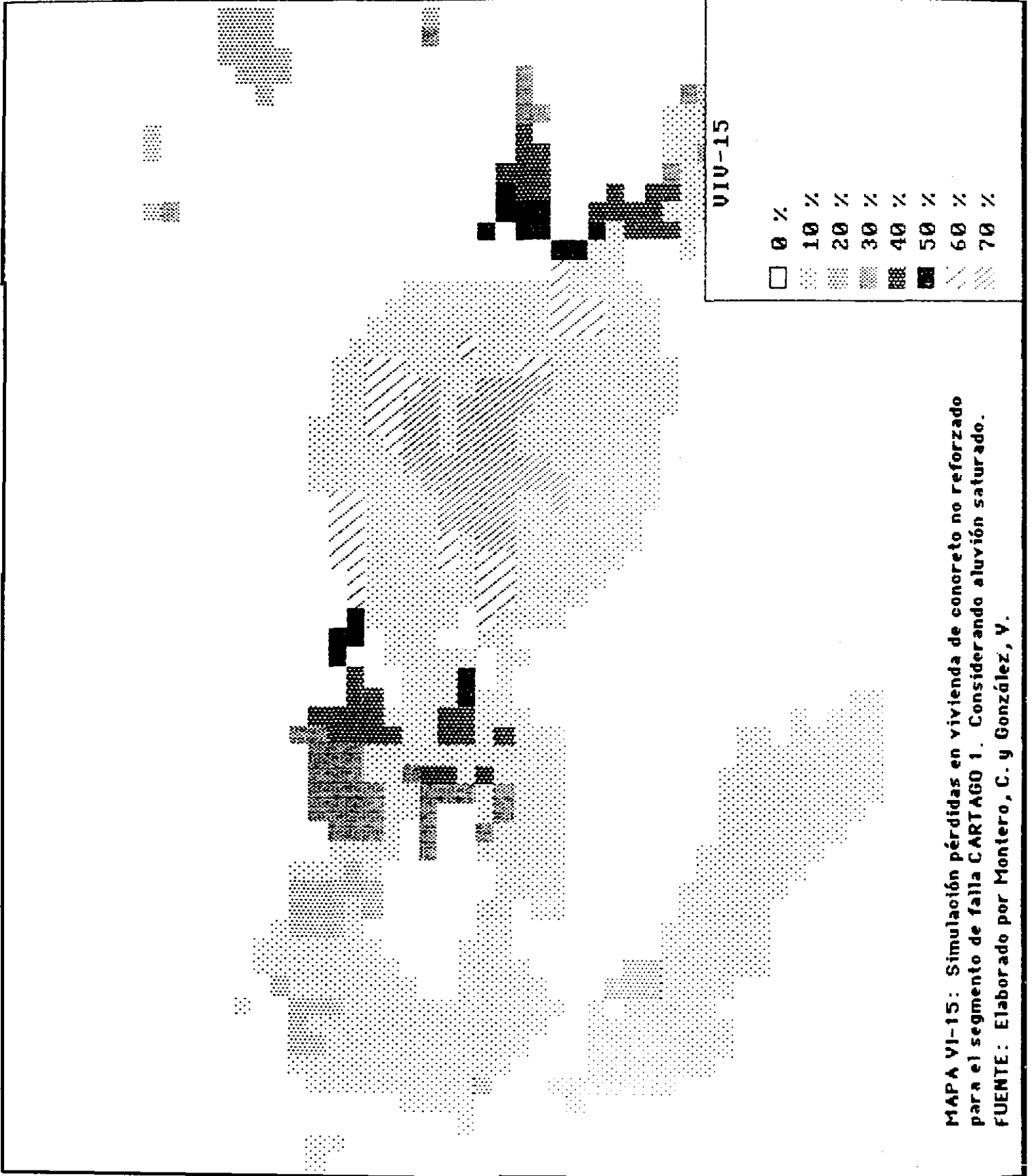
MAPA VI-13: Simulación pérdidas en vivienda de concreto no reforzado para el segmento de falla MAYARRO 2. Considerando aluvión saturado.
 FUENTE: Elaborado por Montero, C. y González, Y.

UIV-14

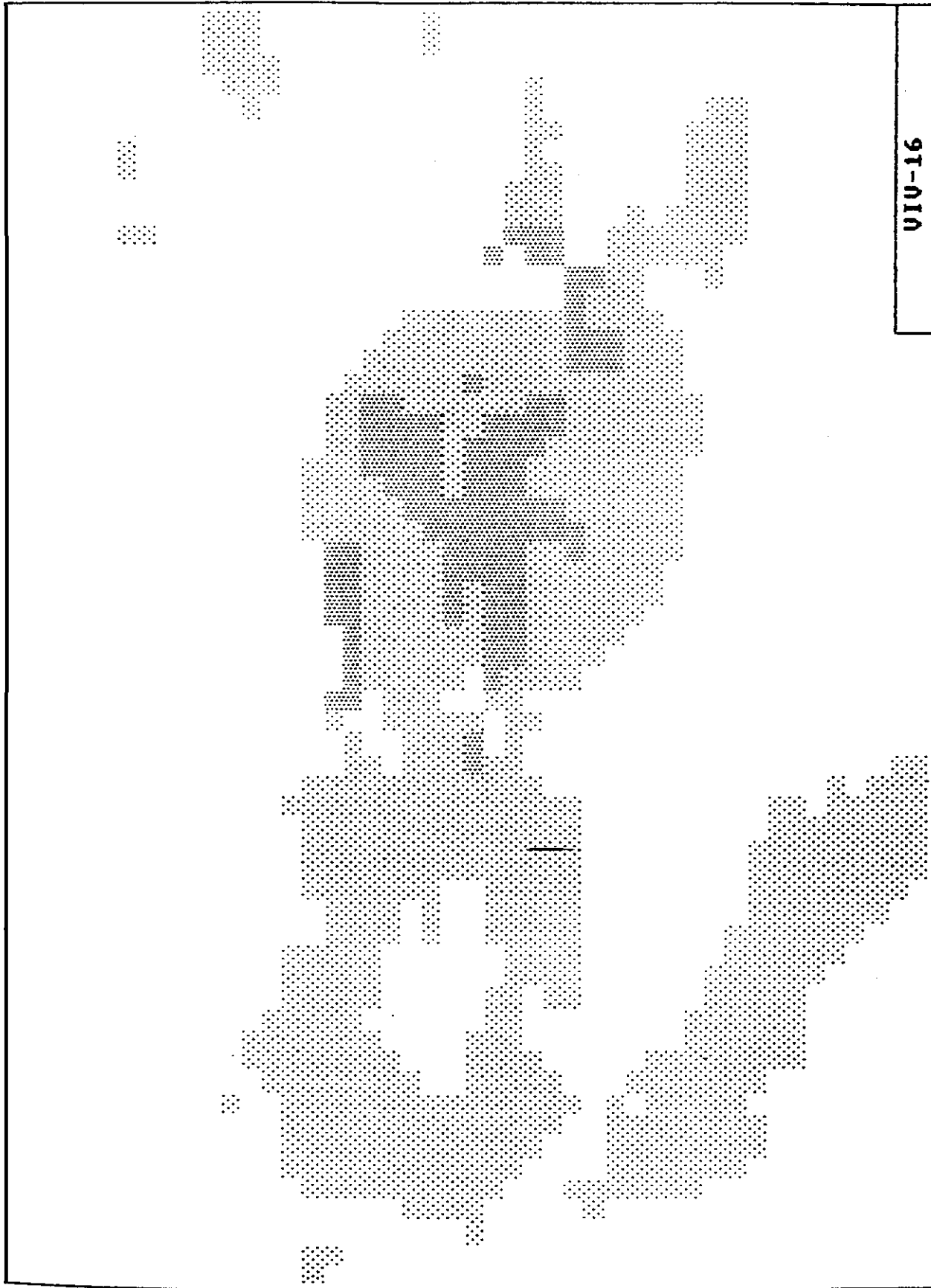
- 0 %
- ◻ 10 %
- ◻ 20 %

MAPA VI-14: Simulación pérdidas en vivienda de concreto no reforzado para el segmento de falla NAYARRO 2. Considerando aluvión no saturado.
FUENTE: Elaborado por Montero, C. y González, V.





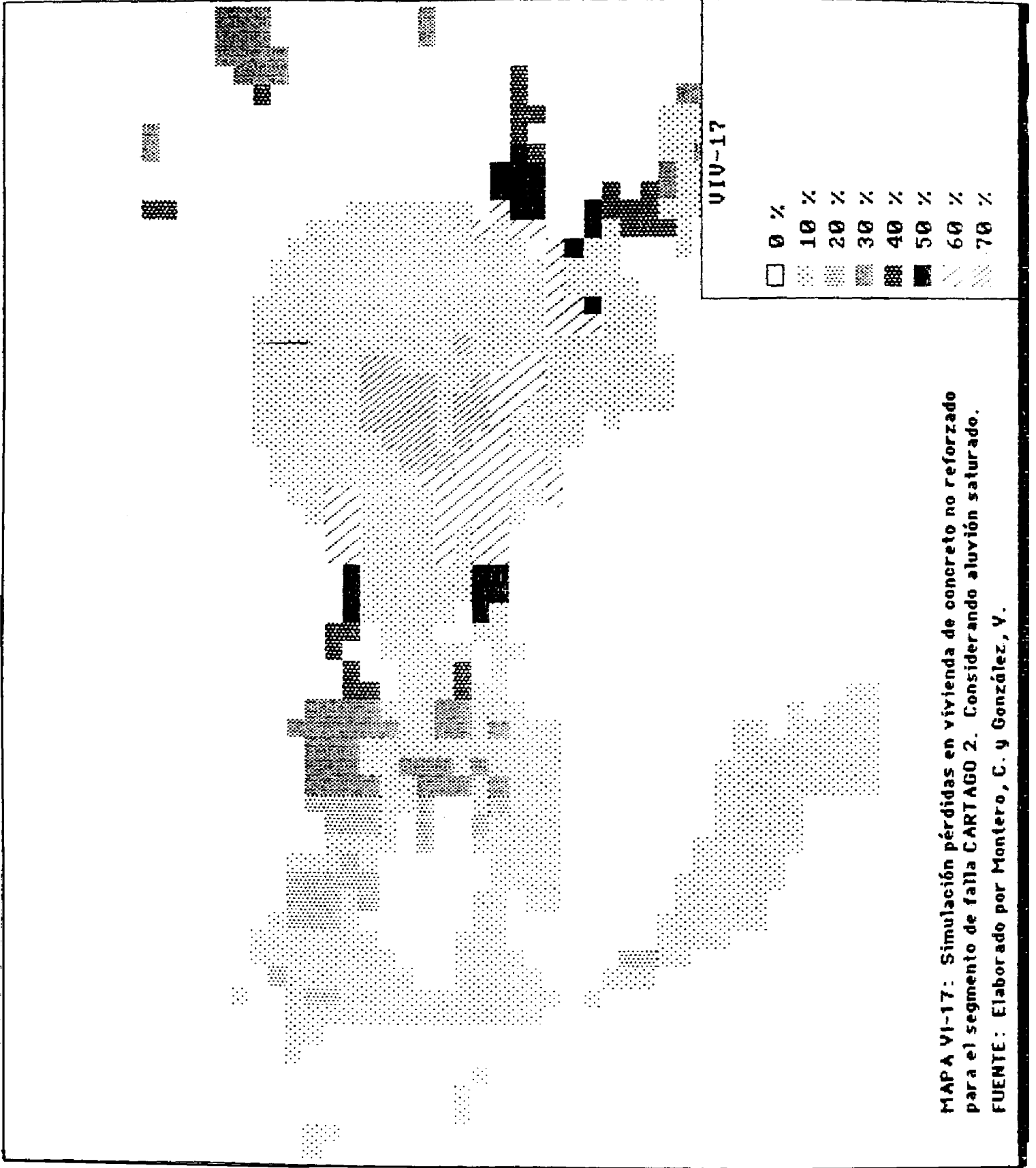
MAPA VI-15: Simulación pérdidas en vivienda de concreto no reforzado para el segmento de falla CARTAGO 1. Considerando aluvión saturado. FUENTE: Elaborado por Montero, C. y González, Y.



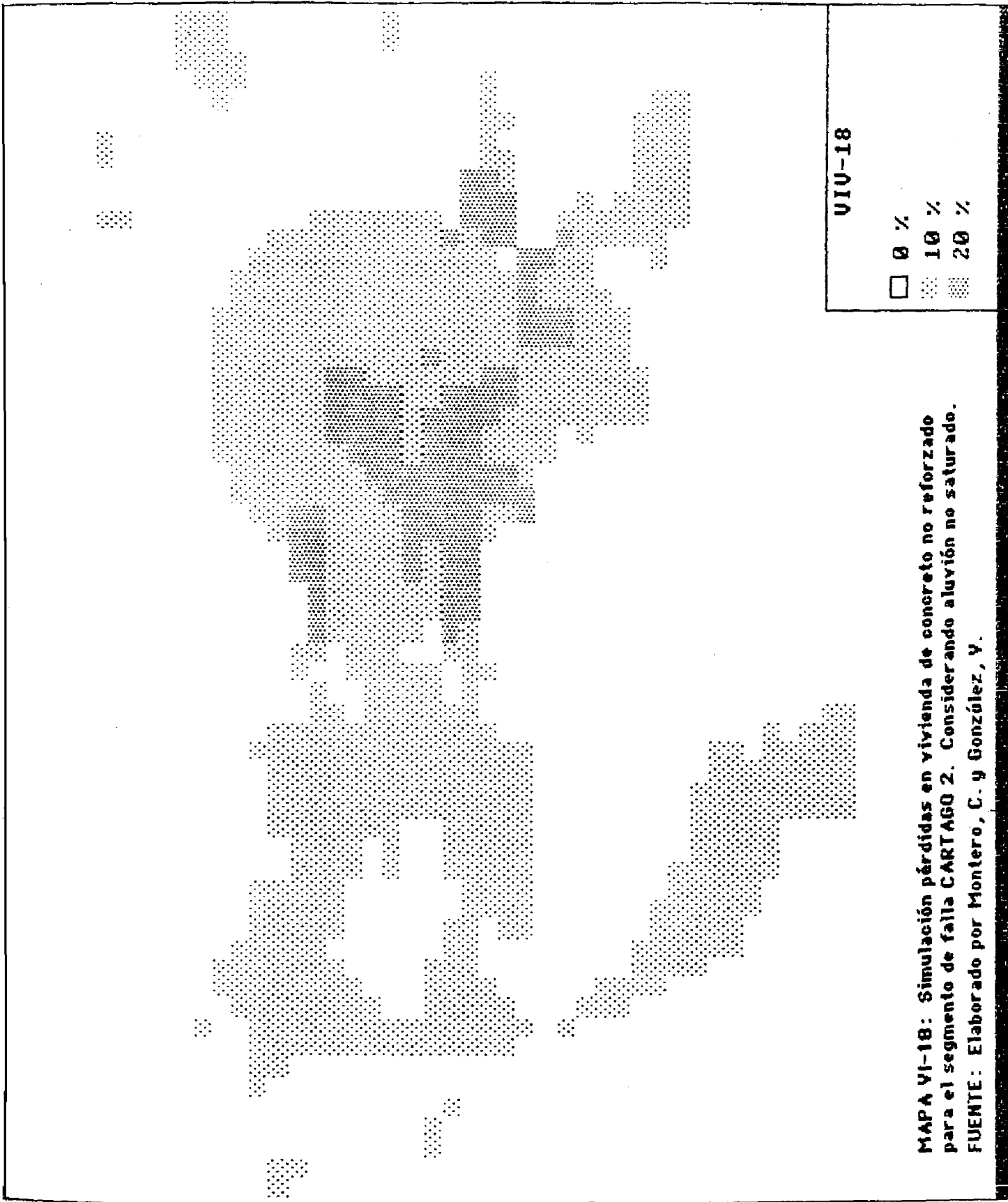
VIV-16

- 0 %
- ◻ 10 %
- ◻ 20 %

MAPA VI-16: Simulación pérdidas en vivienda de concreto no reforzado para el segmento de falla CARTAGO 1. Considerando aluvión no saturado.
FUENTE: Elaborado por Montero, C. y González, V.



MAPA VI-17: Simulación pérdidas en vivienda de concreto no reforzado para el segmento de falla CARTAGO 2. Considerando aluvión saturado.
FUENTE: Elaborado por Montero, C. y González, V.



VIU-18

- 0 %
- ▒ 10 %
- 20 %

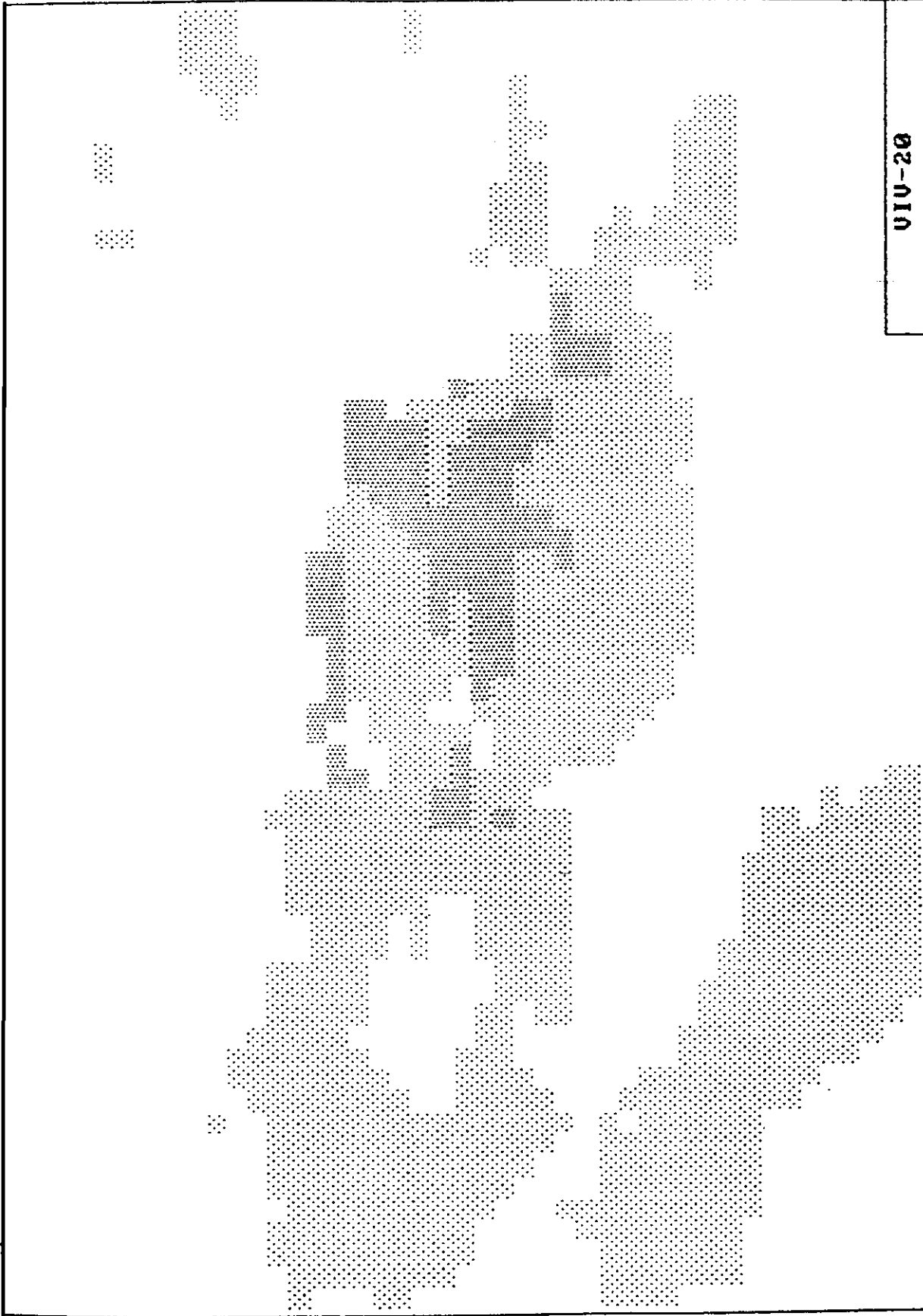
MAPA VI-18: Simulación pérdidas en vivienda de concreto no reforzado para el segmento de falla CARTAGO 2. Considerando aluvión no saturado.
FUENTE: Elaborado por Montero, C. y González, Y.



VIV-19

0 %	10 %	20 %	30 %	40 %	50 %	60 %	70 %
[White]	[Dotted]	[Cross-hatch]	[Diagonal lines /]	[Diagonal lines \]	[Solid black]	[Horizontal lines]	[Vertical lines]

MAPA VI-19: Simulación pérdidas en vivienda de concreto no reforzado para el segmento de falla TOBUSI I. Considerando aluvión saturado.
 FUENTE: Elaborado por Montero, C. y González, V.

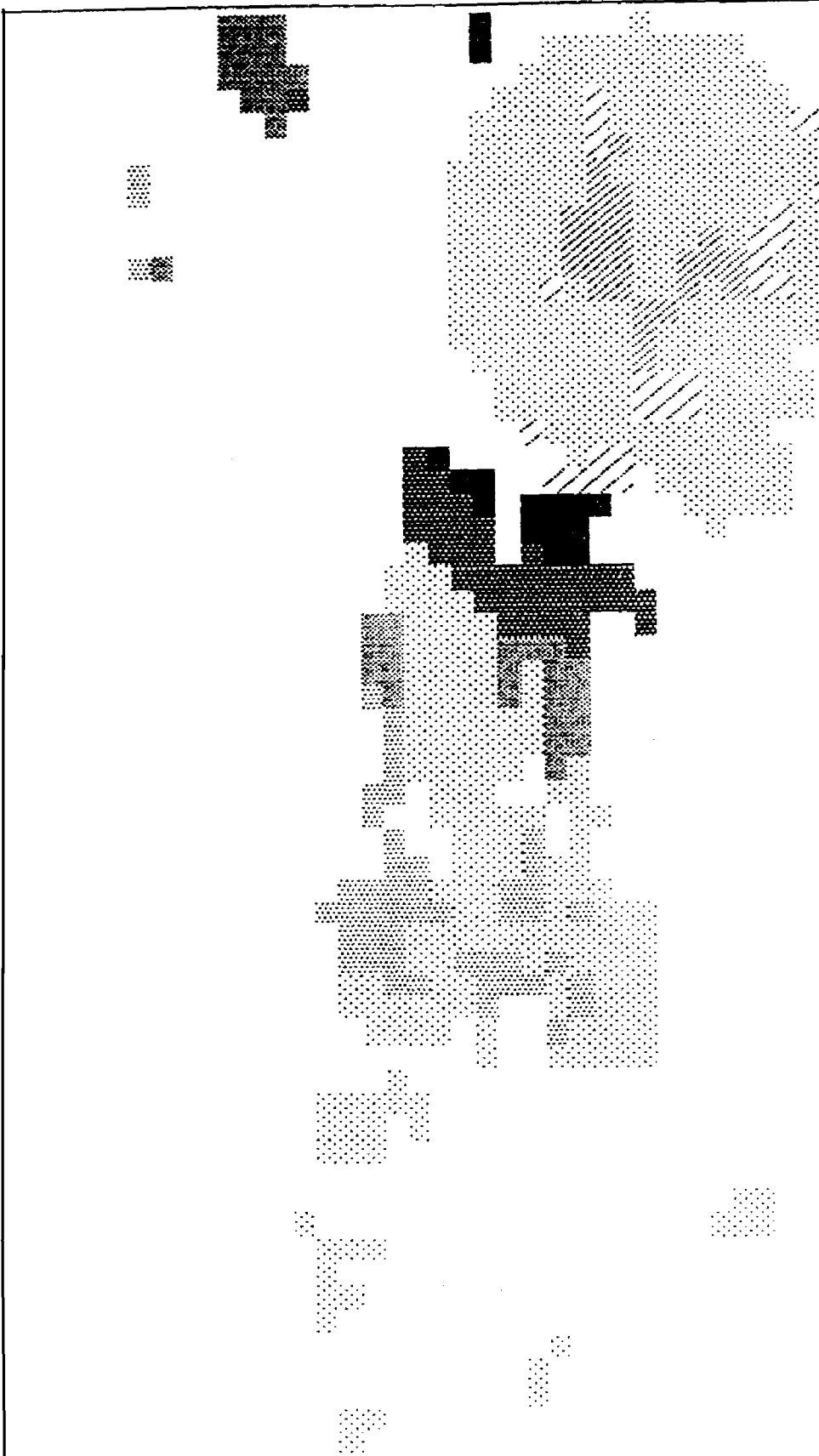
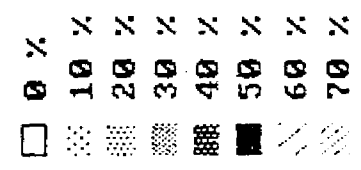


VIU-20

- 0 %
- ⋯ 10 %
- ⋮ 20 %

MAPA VI-20: Simulación pérdidas en vivienda de concreto no reforzado para el segmento de falla TOBOSI 1. Considerando aluvión no saturado.
FUENTE: Elaborado por Montero, C. y González, V.

UIV-21



MAPA VI-21: Simulación pérdidas en vivienda de concreto no reforzado para el segmento de falla UJARRAS 1. Considerando aluvión saturado.
FUENTE: Elaborado por Montero, C. y González, Y.